

# Übungen zur Vorlesung Numerik I

## Sommersemester 2010

PD Dr. Thorsten Hüls  
Dipl.-Math. Denny Otten

Übungsblatt 4  
06.05.2010

**Abgabe:** Freitag, 14.05.2010, 10:00 Uhr in das Postfach des jeweiligen Tutors.

Mo.-Tutorium: Paul Voigt, paulvoigt@web.de, Postfach 195 in V3-128

Di.-Tutorium: Denny Otten, dotten@math.uni-bielefeld.de, Postfach 44 in V3-128

Mi.-Tutorium: Ingwar Petersen, ipeterse@math.uni-bielefeld.de, Postfach 227 in V3-128

### Aufgabe 10: (Eigenschaften von Bézier-Kurven)

Sei  $b(\cdot, b_0, \dots, b_k) : [a, b] \rightarrow \mathbb{R}^n$  die durch die  $k+1$  Punkte  $b_0, \dots, b_k \in \mathbb{R}^n$  gegebene Bézier-Kurve. Zeigen Sie:

- (2) (a) Affine Invarianz: Ist  $F : \mathbb{R}^n \rightarrow \mathbb{R}^n$  eine affin lineare Abbildung, so ist

$$F(b(\cdot, b_0, b_1, \dots, b_k)) = b(\cdot, F(b_0), F(b_1), \dots, F(b_k)).$$

- (2) (b) Bézier-Kurve liegt in der konvexen Hülle der Kontrollpunkte: Es gilt

$$b(\cdot, b_0, b_1, \dots, b_k) \subset \text{co}(b_0, b_1, \dots, b_k),$$

wobei  $\text{co}(b_0, b_1, \dots, b_k)$  die konvexe Hülle der Punkte  $b_0, b_1, \dots, b_k$  bezeichnet.

- (2) (c) Für  $u, v \in \mathbb{R}^n$  sei die affin lineare Abbildung  $F : \mathbb{R} \rightarrow \mathbb{R}^n$  definiert durch

$$F(t) := u + tv, \quad t \in \mathbb{R}.$$

Begründen Sie allein mit den Ihnen bekannten Eigenschaften von Bézier-Kurven (ohne Berechnung durch den de Casteljau-Algorithmus und ohne Verwendung der Darstellung mit Bernsteinpolynomen) den Verlauf von

$$b(\cdot, b_0, \dots, b_k)$$

für die speziellen Daten

$$b_i = F(t_i) \quad \text{für } i = 0, \dots, k,$$

wobei  $t_0 < t_k$  und  $t_i \in (t_0, t_k)$  für  $i = 1, \dots, k-1$ .

(6 Punkte)

**Aufgabe 11:** (Konvergenzgeschwindigkeit der Bézier-Approximation)

Sei  $f : [0, 1] \rightarrow \mathbb{R}^n$  hölderstetig zum Exponenten  $\alpha \in (0, 1]$ , d. h.

$$\exists C_H = C_H(\alpha) > 0 \quad \forall x_1, x_2 \in [0, 1] : \quad \|f(x_1) - f(x_2)\|_2 \leq C_H \cdot |x_1 - x_2|^\alpha,$$

wobei  $\|\cdot\|_2$  die euklidische Norm im  $\mathbb{R}^n$  bezeichnet. Weiter sei  $b(\cdot, f(t_0), \dots, f(t_k))$  die durch die  $k + 1$  Punkte  $f(t_0), \dots, f(t_k)$  gegebene Bézier-Kurve, wobei die  $t_i := \frac{i}{k}$  für  $i = 0, \dots, k$  die äquidistanten Stützstellen des Intervalls  $[0, 1]$  bezeichnen.

Beweisen Sie die folgende Aussage:

$$\forall \alpha \in (0, 1] \quad \exists C = C(\alpha) > 0 \quad \forall k \in \mathbb{N} : \quad \|f(\cdot) - b(\cdot, f(t_0), \dots, f(t_k))\|_{[0,1]} \leq C \cdot k^{-\frac{\alpha}{2}},$$

wobei  $\|g\|_{[0,1]} := \sup_{t \in [0,1]} \|g(t)\|_2$ .

(6 Punkte)

**Aufgabe 12:** (Programmieraufgabe, Bézier-Kurven, Bernsteinpolynome)

Betrachten Sie die Funktion

$$f : [0, 1] \rightarrow \mathbb{R} \quad \text{mit} \quad f(t) := \frac{(8\pi t - 4\pi)^2 \cdot \sin(32\pi t)}{10}$$

und die Datenpaare

$$b_i := (t_i, s_i)^T \quad \text{mit} \quad t_i := \frac{i}{m} \quad \text{und} \quad s_i := f(t_i) \quad \text{für } i = 0, \dots, m,$$

wobei  $m + 1$  die Anzahl der äquidistanten Stützstellen des Intervalls  $[0, 1]$  bezeichnet.

- (3) (a) Schreiben Sie ein Programm zur Approximation der Funktion  $f$  mit Hilfe von Bézier-Kurven, das die Darstellung der Bézier-Kurven mit Bernsteinpolynomen verwendet.
- (3) (b) Testen Sie Ihr Programm für die Parameterwerte  $m = 10, 100, 1000$  und plotten Sie  $f(t)$ ,  $b(t, b_0, \dots, b_m)$  sowie den Fehler  $f(t) - b(t, b_0, \dots, b_m)$  für  $t \in [0, 1]$ .

Hinweis: Vergleichen Sie Ihre Resultate mit der NUMLAB-GUI: *Approximation mit Bézier-Kurven*.

- Laufzeiteffizienz: Verwende Pascalatrios Dreieck aufsteile der Berechnung des Binomialkoeffizienten  
 • benötigt wiederum 2 Funktionen: Bernstein & Béz
- (6 Punkte)

## Aufgabe 10: (Eigenschaften von Bézier-Kurven)

Zu (a): Sei  $F: \mathbb{R}^n \rightarrow \mathbb{R}^n$  eine affin lineare Abbildung, d.h.  
 $\exists A \in \mathbb{R}^{n \times n} \wedge \exists v \in \mathbb{R}^n \forall x \in \mathbb{R}^n: F(x) = A \cdot x + v$  (10.1)

Es gilt nun:

$$\begin{aligned}
 & b(t, F(b_0), \dots, F(b_K)) \\
 & \stackrel{\text{Skript (4.8)}}{=} \sum_{j=0}^K F(b_j) \cdot B_j^K(t) \\
 & = \sum_{j=0}^K (A \cdot b_j + v) \cdot B_j^K(t) \\
 & \stackrel{\text{Def. von } F}{=} \sum_{j=0}^K A \cdot b_j \cdot B_j^K(t) + v \cdot \sum_{j=0}^K B_j^K(t) \\
 & \qquad \qquad \qquad \underbrace{\sum_{j=0}^K B_j^K(t)}_{=1} \quad (\text{Teilung der Eins, vgl. Skript (4.6)}) \\
 & = \left[ \sum_{j=0}^K A \cdot b_j \cdot B_j^K(t) \right] + v \\
 & \stackrel{\text{l.in. von } A}{=} A \cdot \left[ \sum_{j=0}^K b_j \cdot B_j^K(t) \right] + v \\
 & \stackrel{\text{Def. von } F}{=} F \left( \sum_{j=0}^K b_j \cdot B_j^K(t) \right) \\
 & \stackrel{\text{Skript (4.8)}}{=} F(b(t, b_0, \dots, b_K)) \quad \forall t \in [0, 1] \quad \forall K \in \mathbb{N}
 \end{aligned}$$

Zu (b): Betrachte die Konvexe Hülle der Kontrollpunkte  $b_0, \dots, b_K$

$$co(b_0, \dots, b_K) := \left\{ \sum_{j=0}^K \alpha_j \cdot b_j \mid \sum_{j=0}^K \alpha_j = 1 \text{ und } \alpha_j \geq 0 \quad \forall j=0, \dots, K \right\} \quad \forall K \in \mathbb{N}$$

Aus der Darstellung der Bézier-Kurve durch Bernsteinpolynome (vgl. Skript (4.8))

$$b_0^K(t) = b(t, b_0, \dots, b_K) = \sum_{j=0}^K b_j \cdot B_j^K(t) \quad \forall t \in [0, 1] \quad \forall K \in \mathbb{N}$$

erhalten wir mit  $\alpha_j := B_j^K(t)$  für  $j=0, \dots, K$  aus den Eigenschaften der Bernsteinpolynome

$$B_j^K(t) \geq 0 \quad \forall t \in [0, 1] \quad \forall j=0, \dots, K \quad \forall K \in \mathbb{N} \quad \left( \begin{array}{l} \text{per Definition: } \forall t \in [0, 1]: \\ B_j^K(t) := \binom{K}{j} \cdot t^j \cdot (1-t)^{K-j} \geq 0 \end{array} \right)$$

und

$$\sum_{j=0}^K B_j^K(t) = 1 \quad \forall t \in [0, 1] \quad \forall K \in \mathbb{N}, \quad (\text{Teilung der Eins})$$

dass

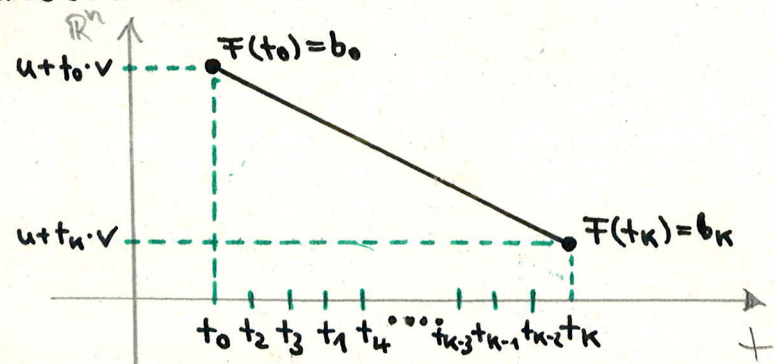
$$b_0^K(t) \in co(b_0, \dots, b_K) \quad \forall t \in [0, 1] \quad \forall K \in \mathbb{N}$$

und daher

$$b_0^K(\cdot) = b(\cdot, b_0, \dots, b_K) \subset co(b_0, \dots, b_K) \quad \forall K \in \mathbb{N}$$

Zu (c): Seien  $u, v \in \mathbb{R}^n$ ,  $F: \mathbb{R} \rightarrow \mathbb{R}^n$  affin linear definiert durch  $F(t) := u + t \cdot v$ ,  $t \in \mathbb{R}$ , und  $t_0, \dots, t_K \in \mathbb{R}$  mit  $t_0 < t_K$  und  $t_i \in ]t_0, t_K[$ . Beachte: Wir fordern nicht  $t_i < t_{i+1}$  für  $i \in \{1, \dots, K-2\}$ .  $b(\cdot, b_0, \dots, b_K)$  Bézier-Kurve zu den Daten  $b_i = F(t_i)$   $\forall i=0, \dots, K$ .

Betrachte die folgende Abbildung:



Behauptung: Die Bézier-Kurve  $b(\cdot, b_0, \dots, b_K)$  ist die Verbindungsstrecke von  $u+t_0 \cdot v$  nach  $u+t_K \cdot v$ , d.h.

$$b(\cdot, b_0, \dots, b_K) = \{(1-s) \cdot (u+t_0 \cdot v) + s \cdot (u+t_K \cdot v) \mid s \in [0,1]\}$$

Nachweis: 1. Nach Aufgabenteil (b) wissen wir:

$$b(\cdot, b_0, \dots, b_K) \underset{(b)}{\subseteq} c_0(b_0, \dots, b_K) = c_0(F(t_0), \dots, F(t_K))$$

$$F(t_i) = b_i$$

$$\forall i=0, \dots, K$$

$$= c_0(F(t_0), F(t_K)) = \left\{ \alpha_0 \cdot F(t_0) + \alpha_1 \cdot F(t_K) \mid \begin{array}{l} \alpha_0 + \alpha_1 = 1 \\ \alpha_0, \alpha_1 \geq 0 \end{array} \right\}$$

$F$  affinlinear

Def von  $c_0$

$$= \left\{ (1-\alpha_1) \cdot F(t_0) + \alpha_1 \cdot F(t_K) \mid \alpha_1 \in [0,1] \right\}$$

$$\alpha_0 + \alpha_1 = 1 \Rightarrow 0 \leq \alpha_0 = 1 - \alpha_1 \leq 1$$

$$\alpha_0 \geq 0$$

$$\alpha_1 \geq 0$$

$$\stackrel{(-1)}{\Rightarrow} 0 \geq \alpha_1 - 1 \geq -1$$

$$\stackrel{+1}{\Rightarrow} 1 \geq \alpha_1 \geq 0 \Leftrightarrow \alpha_1 \in [0,1]$$

$$= \left\{ (1-s) \cdot (u+t_0 \cdot v) + s \cdot (u+t_K \cdot v) \mid s \in [0,1] \right\}$$

$$F(t) = u+t \cdot v$$

$$\alpha_1 = s$$

2. Wegen der Endpunkt-Interpolation gilt

$$b(t_0, b_0, \dots, b_K) = b_0 = F(t_0)$$

$$b(t_K, b_0, \dots, b_K) = b_K = F(t_K)$$

d.h. die Bézier-Kurve besitzt den Startpunkt  $b_0$  und Endpunkt  $b_K$ . Da die Bézier-Kurve  $b(\cdot, b_0, \dots, b_K) : [t_0, t_K] \rightarrow \mathbb{R}^n$  ein Polynom ist, gilt

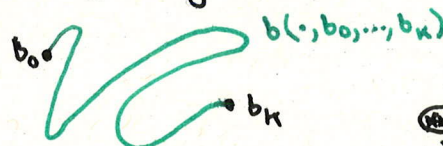
$b(\cdot, b_0, \dots, b_K) : [t_0, t_K] \rightarrow \mathbb{R}^n$  ist stetig,  $\textcircled{*}$

Wegen  $b(\cdot, b_0, \dots, b_K) \subset \{(1-s) F(t_0) + s \cdot F(t_K) \mid s \in [0,1]\}$  folgt daraus

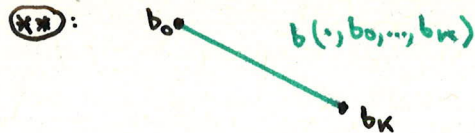
$$b(\cdot, b_0, \dots, b_K) = \{(1-s) F(t_0) + s \cdot F(t_K) \mid s \in [0,1]\}$$

d.h.  $\textcircled{**}$

$\textcircled{*}$ : d.h. insgesamt, dass der Graph  $b(\cdot, b_0, \dots, b_K)$  den Startpunkt  $b_0$  mit dem Endpunkt  $b_K$  stetig (und somit ohne Sprünge) verbindet. Das Szenario



$\textcircled{**}$  ist wegen Schritt 1 nicht möglich.  $\textcircled{***}$



$\textcircled{***}$ : Das Szenario



ist wegen der Stetigkeit der Bézierkurve nicht möglich.

Zusatfrage: Läuft die Bézier-Kurve nur in eine Richtung von  $b_0$  nach  $b_K$  oder kann sie ihre Richtung kurzzeitig ändern?

## AUFGABE 11: (Konvergenzgeschwindigkeit der Bézier-Kurve)

Satz: Sei  $n \in \mathbb{N}$  und  $f: [0,1] \rightarrow \mathbb{R}^n$  höldersstetig zum Exponenten  $\alpha \in ]0,1]$ , d.h.

$$\exists C_H = C_H(\alpha) > 0 \quad \forall x_1, x_2 \in [0,1]: \|f(x_1) - f(x_2)\|_2 \leq C_H \cdot |x_1 - x_2|^\alpha. \quad (11.1)$$

Weiter bezeichne  $b(\cdot, f(t_0), \dots, f(t_K))$  die durch die  $K+1$  Punkte  $f(t_0), \dots, f(t_K)$  gegebene Bézier-Kurve, wobei  $t_i := \frac{i}{K}$  für  $i=0, \dots, K$  die äquidistanten Stützstellen des Intervalls  $[0,1]$  sind. Zeige:

$$\forall \alpha \in ]0,1] \quad \exists C = C(\alpha) > 0 \quad \forall K \in \mathbb{N}: \|f(\cdot) - b(\cdot, f(t_0), \dots, f(t_K))\|_{C([0,1], \mathbb{R}^n)} \leq C \cdot K^{-\frac{\alpha}{2}}$$

Beweis: (In Schritt 1 und 2 führen wir die notwendigen Hilfsmittel auf, die im Schritt 3, dem eigentlichen Beweis, benötigt werden)

(1): LEMMA: Sei  $D \subset \mathbb{R}$  und  $f: D \rightarrow \mathbb{R}^n$ , dann gilt für

(Die Hölder-Stetigkeit ist eine Verallgemeinerung der Lipschitz-Stetigkeit, denn Höldersstetig mit  $\alpha=1$  entspricht der Lipschitz-Stetigkeit)

(A):  $f: D \rightarrow \mathbb{R}^n$  höldersstetig in  $D$  zum Exponenten  $\alpha \in ]0,1]$ .

(B):  $f: D \rightarrow \mathbb{R}^n$  gleichmäßig stetig in  $D$

(C):  $f: D \rightarrow \mathbb{R}^n$  stetig in  $D$

(A)  $\Rightarrow$  (B)  $\Rightarrow$  (C). Die Umkehrungen gelten i. A. nicht.  $(11.2)$

Beweis: (A)  $\Rightarrow$  (B):

z.z.:  $\forall \varepsilon > 0 \quad \exists \delta = \delta(\varepsilon) > 0 \quad \forall x_1, x_2 \in D$  mit  $|x_1 - x_2| \leq \delta: \|f(x_1) - f(x_2)\|_2 \leq \varepsilon$

Sei  $\varepsilon > 0$  beliebig aber fest. Definiere  $\delta := \left(\frac{\varepsilon}{C_H}\right)^{\frac{1}{\alpha}}$ , dann gilt

$$\|f(x_1) - f(x_2)\|_2 \leq C_H \cdot |x_1 - x_2|^\alpha \leq C_H \cdot \delta^\alpha$$

↑  
f höldersstetig

↑  
 $|x_1 - x_2| \leq \delta \Rightarrow |x_1 - x_2|^\alpha \leq \delta^\alpha$

(denn:  $x^\alpha$  ist streng mon. wachsend  
für  $x \geq 0$  und  $\alpha \in ]0,1]$ )

$$= C_H \cdot \left(\left(\frac{\varepsilon}{C_H}\right)^{\frac{1}{\alpha}}\right)^\alpha = \varepsilon \quad \forall x_1, x_2 \in D \text{ mit } |x_1 - x_2| \leq \delta$$

↑  
Def. von  $\delta$

■

(2): Seien  $\varepsilon > 0$  und  $t \in [0,1]$  beliebig aber fest gewählt, dann gilt wegen (11.1) und wegen der Inklusion (11.2) des Lemmas:

(11.1)  $\Rightarrow f: [0,1] \rightarrow \mathbb{R}^n$  höldersstetig (in  $[0,1]$  zum Exponenten  $\alpha \in ]0,1]$ )

(11.2)  $\Rightarrow f: [0,1] \rightarrow \mathbb{R}^n$  gleichmäßig stetig (in  $[0,1]$ )

d.h. (für unsere beliebigen, aber festen  $\varepsilon > 0$  und  $t \in [0,1]$ ) gilt

$$\exists \delta = \delta(\varepsilon) > 0 \quad \forall t_i, t_j \in [0,1] \text{ mit } |t_j - t_i| \leq \delta: \|f(t) - f(t_i)\|_2 \leq \frac{\varepsilon}{2} \quad (11.3)$$

Beachte: Folgen wir dem Beweis des Lemmas, so erhalten wir

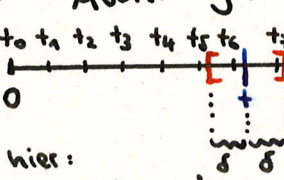
$$\delta := \left(\frac{\varepsilon}{2C_H}\right)^{\frac{1}{\alpha}} > 0$$

$(11.4)$

Definiere (für das beliebige, aber feste  $t \in [0,1]$ ) Abbildung 1:

$$I := \{i \in \{0, \dots, K\} \mid |t - t_i| \leq \delta\} \quad (11.5)$$

$$J := \{i \in \{0, \dots, K\} \mid |t - t_i| > \delta\} \quad (11.6)$$



hier:

$$I = \{6, 7\}$$

$$J = \{0, 1, 2, 3, 4, 5, 8, 9, 10, 11, 12\}$$

③: Nun gilt (mit Hilfe der Eigenschaften für Bernsteinpolynome):

$$\begin{aligned}
 & \|f(t) - b(t, f(t_0), \dots, f(t_K))\|_2 \\
 &= \left\| \underbrace{\sum_{i=0}^K B_i^K(t) \cdot f(t_i)}_{=1} - \sum_{i=0}^K f(t_i) \cdot B_i^K(t) \right\|_2 \\
 &\stackrel{1. \text{ Teilung der } I}{=} \\
 &\stackrel{2. \text{ Darstellung d. Bézier-Kurve}}{=} \\
 &\quad (\text{vgl. Skript (4.8)}) \\
 &= \left\| \sum_{i=0}^K (f(t) - f(t_i)) \cdot B_i^K(t) \right\|_2 \\
 &\leq \sum_{i=0}^K \|f(t) - f(t_i)\|_2 \cdot |B_i^K(t)| \\
 &\Delta's \text{ Ungl.} \\
 &= \sum_{i=0}^K \|f(t) - f(t_i)\|_2 \cdot B_i^K(t) \\
 &\stackrel{B_i^K(t) \geq 0 \forall t \in [0,1]}{=} \\
 &= \underbrace{\sum_{i \in I} \|f(t) - f(t_i)\|_2 \cdot B_i^K(t)}_{=: S_1} + \underbrace{\sum_{i \notin I} \|f(t) - f(t_i)\|_2 \cdot B_i^K(t)}_{=: S_2} \\
 &= S_1 + S_2
 \end{aligned}
 \tag{11.7}$$

Beachte: In endlich-dimensionalen Räumen sind alle Normen äquivalent zueinander, d.h. z.B. für  $\|\cdot\|_\infty$  und  $\|\cdot\|_+$ :  
 $\exists c_1, c_2 > 0 : c_1 \cdot \|\cdot\|_\infty \leq \|\cdot\|_+ \leq c_2 \cdot \|\cdot\|_\infty$

Beachte: Um eine Konvergenzrate zu erhalten, müssen  $S_1$  und  $S_2$  in Abhängigkeit von  $K$  abgeschätzt werden.

zu  $S_1$ :

$$S_1 = \sum_{i \in I} \|f(t) - f(t_i)\|_2 \cdot B_i^K(t) \leq \frac{\varepsilon}{2} \cdot \sum_{i \in I} B_i^K(t) \leq \frac{\varepsilon}{2} \cdot \sum_{i=1}^K B_i^K(t) = \frac{\varepsilon}{2}
 \tag{11.8}$$

(11.3): gl. stetig  
(11.5): Def. von  $I$   
1. Ergänzung von Summanden  
2.  $B_i^K(t) \geq 0 \forall t \in [0,1]$

zu  $S_2$ :

$$\begin{aligned}
 S_2 &= \sum_{i \notin I} \|f(t) - f(t_i)\|_2 \cdot B_i^K(t) \leq \sum_{i \notin I} C_H \cdot |t - t_i|^\alpha \cdot B_i^K(t) \\
 &< \sum_{i \notin I} C_H \cdot |t - t_i|^\alpha \cdot \frac{|t - t_i|^{2-\alpha}}{\delta^{2-\alpha}} \cdot B_i^K(t) \\
 &\stackrel{(11.6) \Rightarrow |t - t_i| > \delta (> 0)}{=} |t - t_i|^{2-\alpha} > \delta^{2-\alpha} \quad (\text{denn: } \beta := 2 - \alpha \geq 1 \text{ und } x^\beta \text{ streng mon. wachsend für } x \geq 0 \text{ und } \beta \geq 1) \\
 &\stackrel{\alpha \in ]0,1]}{=} \frac{|t - t_i|^{2-\alpha}}{\delta^{2-\alpha}} > 1 \\
 &\leq \frac{C_H}{\delta^{2-\alpha}} \cdot \underbrace{\sum_{j=0}^K (t - t_j)^2 \cdot B_j^K(t)}_{\substack{1. \text{ Ergänzung von Summanden} \\ 2. B_j^K(t) \geq 0 \forall t \in [0,1]}} = \frac{C_H}{K} \cdot \underbrace{\delta^{2-\alpha} \cdot \frac{(1-t)^2}{2}}_{\substack{\text{Summierbarkeits-} \\ \text{eigenschaft}}} \stackrel{\alpha \in ]0,1]}{\leq \frac{1}{4} \forall t \in [0,1]} \\
 &\leq \frac{C_H}{4K} \cdot \delta^{\alpha-2} \stackrel{(11.4)}{=} \frac{C_H}{4K} \cdot \left( \left( \frac{\varepsilon}{2C_H} \right)^{\frac{1}{\alpha}} \right)^{\alpha-2} = \left( \frac{4C_H^2}{8^\alpha \cdot K^\alpha \cdot \varepsilon^{2-\alpha}} \right)^{\frac{1}{\alpha}} \stackrel{!}{=} \frac{\varepsilon}{2}
 \end{aligned}
 \tag{11.9}$$

Frage: Wie muss  $K$  gewählt werden?

$$\begin{aligned}
 \frac{C_H}{4K} \left( \left( \frac{\varepsilon}{2C_H} \right)^{\frac{1}{\alpha}} \right)^{\alpha-2} &= \frac{C_H}{4K} \cdot \left( \left( \frac{\varepsilon}{2C_H} \right)^{\frac{1}{\alpha}} \right)^\alpha \cdot \left( \left( \frac{\varepsilon}{2C_H} \right)^{\frac{1}{\alpha}} \right)^{-2} = \frac{\varepsilon \cdot C_H}{8 \cdot C_H \cdot K} \cdot \left( \frac{\varepsilon}{2C_H} \right)^{-\frac{2}{\alpha}} = \frac{\varepsilon}{8 \cdot K} \cdot \left( \frac{2C_H}{\varepsilon} \right)^{\frac{2}{\alpha}} \\
 &= \frac{\varepsilon}{8 \cdot K} \cdot \left( \frac{4 \cdot C_H^2}{\varepsilon^2} \right)^{\frac{1}{\alpha}} = \left( \frac{\varepsilon^\alpha \cdot C_H^2}{8^\alpha \cdot K^\alpha \cdot \varepsilon^2} \right)^{\frac{1}{\alpha}} = \left( \frac{4 \cdot C_H^2}{8^\alpha \cdot K^\alpha \cdot \varepsilon^{2-\alpha}} \right)^{\frac{1}{\alpha}}
 \end{aligned}$$

Damit  $\frac{!}{}$  erfüllt ist, muss  $K$  wie folgt gewählt werden:

$$\left( \frac{4C_H^2}{8^\alpha \cdot K^\alpha \cdot \varepsilon^{2-\alpha}} \right)^{\frac{1}{\alpha}} = \frac{\varepsilon}{2} \iff K = \left( 4^{1-\alpha} \cdot C_H^2 \cdot \varepsilon^{-2} \right)^{\frac{1}{\alpha}}
 \tag{11.10}$$

$$\boxed{\text{E2: (Umformung)} \left( \frac{4C_H^2}{8^\alpha \cdot K^\alpha \cdot \varepsilon^{2-\alpha}} \right)^{\frac{1}{\alpha}} = \frac{\varepsilon}{2} \iff \frac{4C_H^2}{8^\alpha \cdot K^\alpha \cdot \varepsilon^{2-\alpha}} = \frac{\varepsilon^\alpha}{2^\alpha} \iff \frac{2^{\alpha+2} \cdot C_H^2}{2^{3\alpha} \cdot \varepsilon^2} = K \iff K = 4^{1-\alpha} \cdot C_H^2 \cdot \varepsilon^{-2}}$$

(11.10) nach  $\varepsilon$  umgestellt ergibt:

$$K = (4^{1-\alpha} \cdot C_H^2 \cdot \varepsilon^{-2})^{\frac{1}{\alpha}} \iff \varepsilon = \underbrace{4^{\frac{1-\alpha}{2}} \cdot C_H \cdot K^{-\frac{\alpha}{2}}}_{= 2^{1-\alpha}} \quad (11.11)$$

$$\boxed{\text{E3: (Umformung)} K = (4^{1-\alpha} \cdot C_H^2 \cdot \varepsilon^{-2})^{\frac{1}{\alpha}} \iff K^\alpha = 4^{1-\alpha} \cdot C_H^2 \cdot \varepsilon^{-2} \iff \varepsilon^2 = 4^{1-\alpha} \cdot C_H^2 \cdot K^{-\alpha} \iff \varepsilon = 4^{\frac{1-\alpha}{2}} \cdot C_H \cdot K^{-\frac{\alpha}{2}}}$$

Aus (11.7), (11.8), (11.9) und (11.11) erhalten wir

$$\|f(\cdot) - b(\cdot, f(t_0), \dots, f(t_n))\|_2 \stackrel{(11.7)}{\leq} S_1 + S_2 \stackrel{(11.8)}{\leq} \frac{\varepsilon}{2} + \frac{\varepsilon}{2} = \varepsilon = 4^{\frac{1-\alpha}{2}} \cdot C_H \cdot K^{-\frac{\alpha}{2}} \quad (11.11) \quad \forall t \in [0, 1]$$

~~Wiederholung~~

und somit

$$\|f(\cdot) - b(\cdot, f(t_0), \dots, f(t_n))\|_{C([0, 1], \mathbb{R}^n)} \leq \underbrace{4^{\frac{1-\alpha}{2}} \cdot C_H \cdot K^{-\frac{\alpha}{2}}}_{=: C = C(\alpha) > 0} \quad \blacksquare$$

```

function aufgabe12
m=10; % m+1=Anzahl der Stuetzstellen (Kontrollpunkte)
        % (Aufgabe: m=10, 100, 1000)
t=0:1/m:1; % t=Stuetzstellen
s=f(t); % s=Funktionsauswertungen von f an den Stuetzstellen t
b=s; % b=Kontrollpunkte der Bezier-Kurve
k=m; % k=m=Anzahl der Stuetzstellen (Kontrollpunkte)
eval=1000; % eval=Anzahl der Funktionsauswertungen beim plotten

% -----
% |      BERECHNUNGEN      |
% -----
% Berechnung des Pascalschen Dreiecks (fuer die Binomialkoeffizienten)
% A(k, i) = (k ueber i)
% Zweck: Laufzeiteffizienz
A=ones(m+1,m+1);
for i=3:m+1
    for j=2:i-1
        A(i,j)=A(i-1,j-1)+A(i-1,j);
    end
end
% Auswertungsstellen fuer die Funktion f, dem Bezier-Polynom und des
% Fehlers
x=0:1/(eval-1):1;

% -----
% |      AUSGABEN      |
% -----
figure
% Plot der Funktion f
plot(x,f(x),'r', ...
      'LineWidth',2);
hold on
% Plot der Funktion f ausgewertet an den Kontrollstellen
plot(t,f(t),'o', ...
      'LineWidth',3, ...
      'MarkerEdgeColor','r', ...
      'MarkerFaceColor','r');
% Plot der Bezier-Kurve
plot(x,bezier(k,0,x,b,A),'b','LineWidth',3);
title('Bezier-Approximation durch Bernsteinpolynome');
legend('f(t)=(8\pi t-4\pi)^2 \sin(32\pi t)/10',...
      'b_i=Kontrollpunkte',...
      'b(t)=Bezier-Kurve',...
      'Location','North');
xlabel('x');
ylabel('y');
axis tight;
hold off

figure
plot(x,f(x)-bezier(k,0,x,b,A),'b');
title('Fehler der Bezier-Approximation durch Bernsteinpolynome');
axis tight;

```

$$\begin{array}{cccccc} 1 & 4 & 6 & 4 & 1 \\ 1 & 3 & 3 & 1 & 1 \\ 1 & 2 & 1 & 1 & 1 \\ 1 & 1 & 1 & 1 & 1 \\ 1 & 1 & 1 & 1 & 1 \end{array}$$

```
% -----
% | ANHANG |
% -----
% Funktion f:
function y = f(t)
    y = (8*pi*t-4*pi).^2.*sin(32*pi*t)./10;
end
```

% Bernstein-Polynom: (siehe Skript (4.2) in Abs. 4.1.5)

```
function y = bernstein(k,i,t,A)
    y=A(k+1,i+1)*t.^i.*(1-t).^(k-i);
    % Zwei Alternativen:
    % 1. Moeglichkeit: Hier jedoch Vorsicht
    % y=(factorial(k))/(factorial(i)*factorial(k-i))*t.^i.*(1-t).^(k-i);
    % funktioniert fuer grosse k (d.h. etwa k>100) nicht mehr, da
    % k!=NaN ergibt.
    % 2. Moeglichkeit: Zur Berechnung jedes Bernsteinpolynoms muss
    % eine for-Schleife durchlaufen werden:
    %for j=1:i
    %    y=y*(k+1-j)/j;
    %end
end
```

$$B_i^k(t) := \begin{cases} \frac{k!}{i!} t^i (1-t)^{k-i}, & 0 \leq i \leq k \\ 0, & \text{sonst} \end{cases}$$

% Bezier-Kurve: (siehe Skript (4.7) in Abs. 4.1.6)

```
function y = bezier(r,i,t,b,A)
    sum=0;
    for j=0:r
        sum=sum+b(i+j+1)*bernstein(r,j,t,A);
    end
    y=sum;
end
```

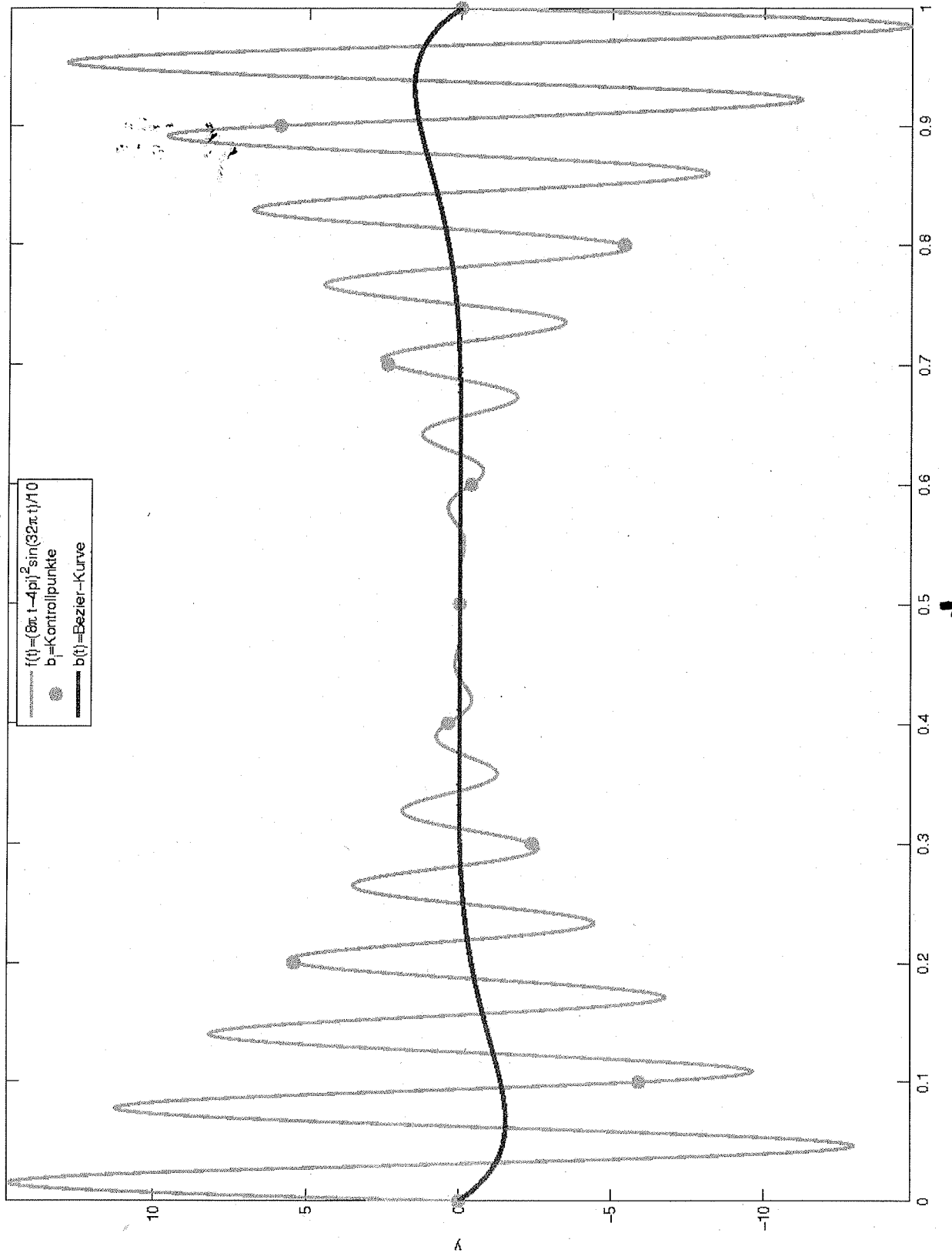
$$B_{i+j}^r(t) := \sum_{j=0}^{r-i} b_{i+j} B_j^r(t), \quad r=0, \dots, k$$

$$i=0, \dots, k-r$$

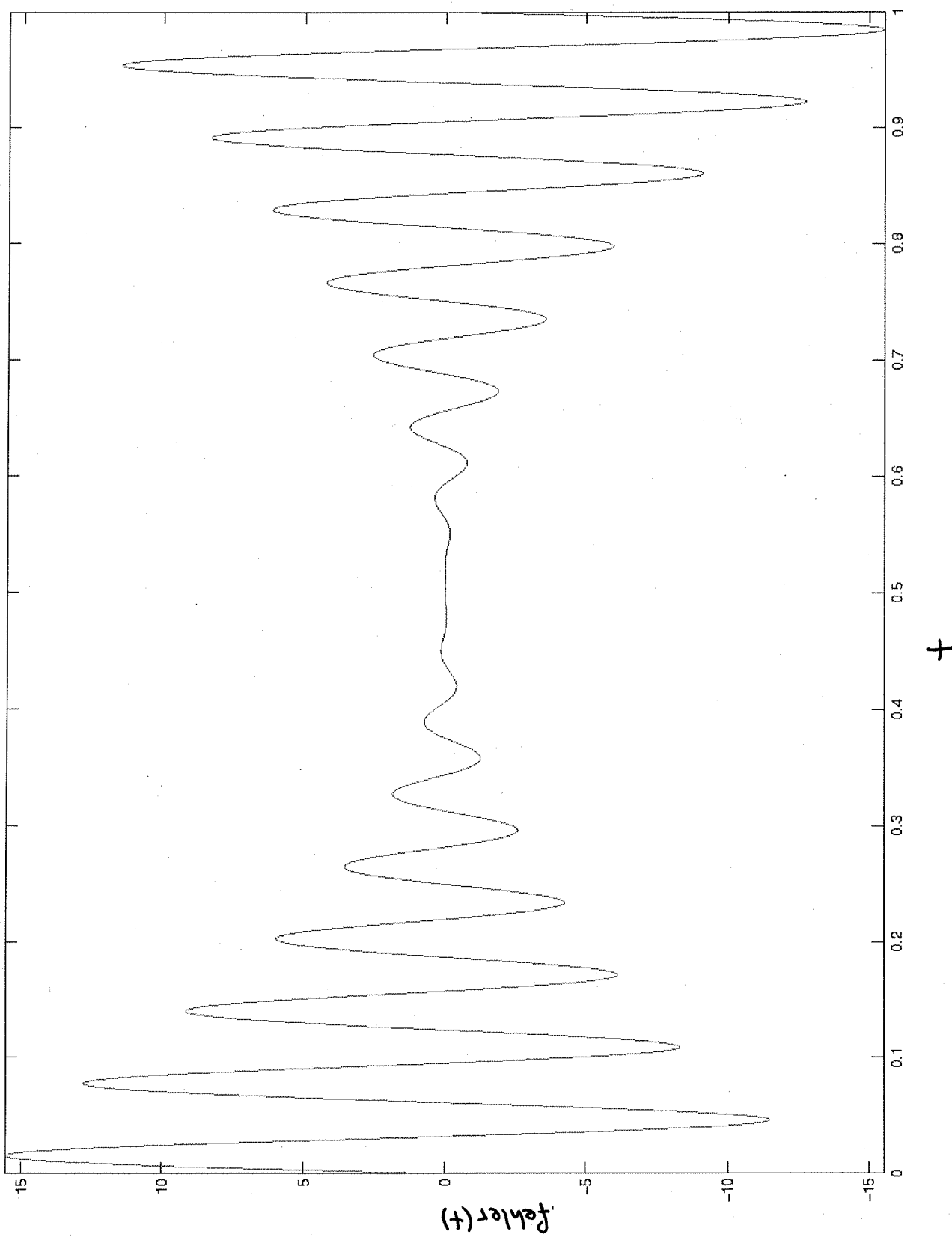
## Beobachtungen:

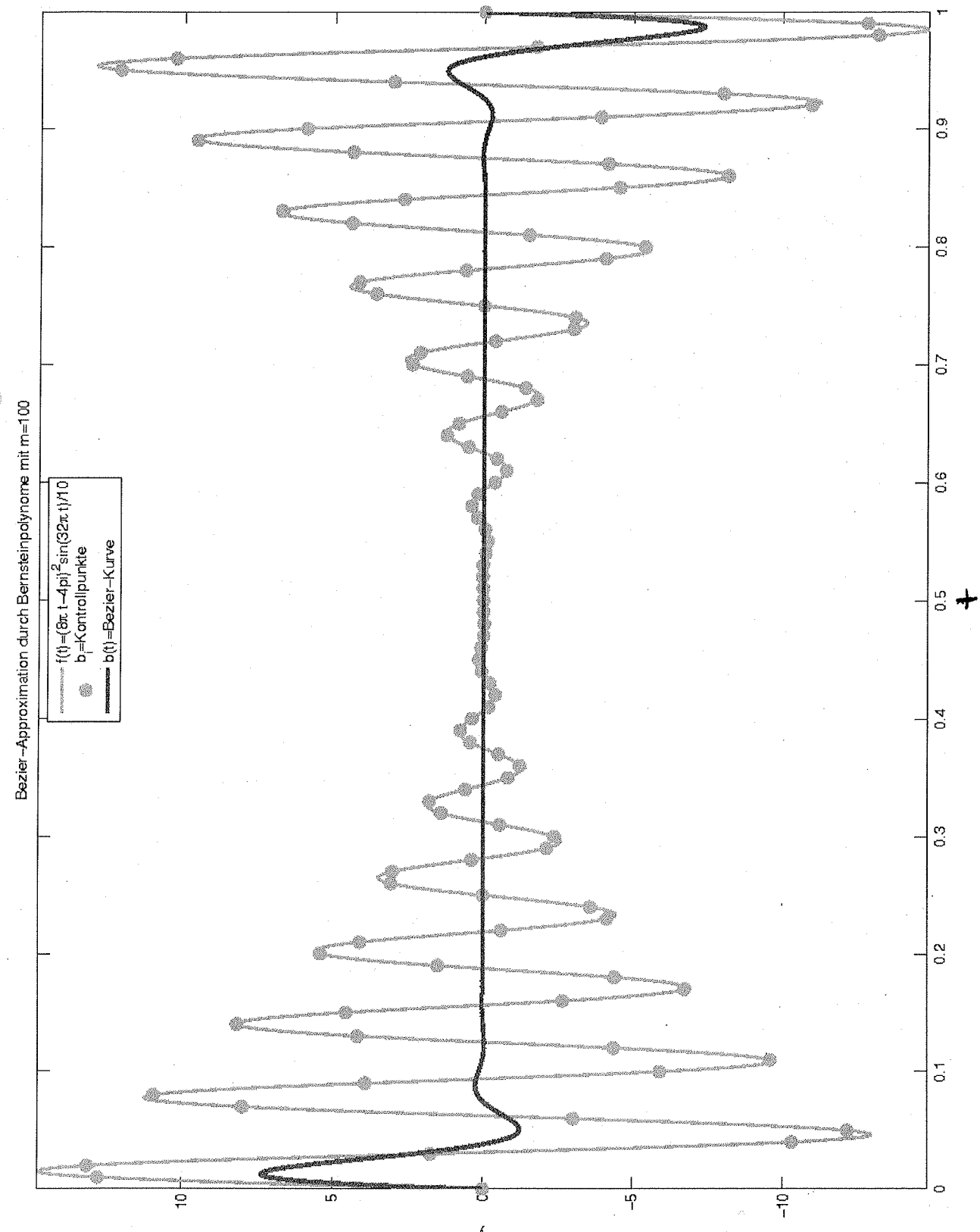
1. Die Funktion  $f$  wird durch die Béziers-Kurve (für große  $m$ ) deutlich besser approximiert, als mittels des Interpolationspolygons in Aufgabe 8.  
Der Fehlervergleich zeigt etwa:
  - Fehler der Bézier-Approximation  $\approx 4$  (bei  $m=1000$ )
  - Fehler des Interpolationspolygons  $\approx 12 \approx 10^3$  (bei 5 Stützstellen) mit Oszillationen
2. Bei der Bézier-Approximation erhalten wir für wachsendes  $m$  einen zunehmend kleineren Fehler. Jedoch sind (wegen des Binomialkoeffizienten in den Bernsteinpolynomen) die Grenzen  $M$  und  $m$  der Berechnung bei  $m=1029$  erreicht, da das Pascalische Dreieck den Eintrag "infinity" enthält.
3. Der größte Fehler tritt nach wie vor ausschließlich in der Nähe des Randes von  $[0,1]$  auf.

Bezier-Approximation durch Bernsteinpolynome mit m=10

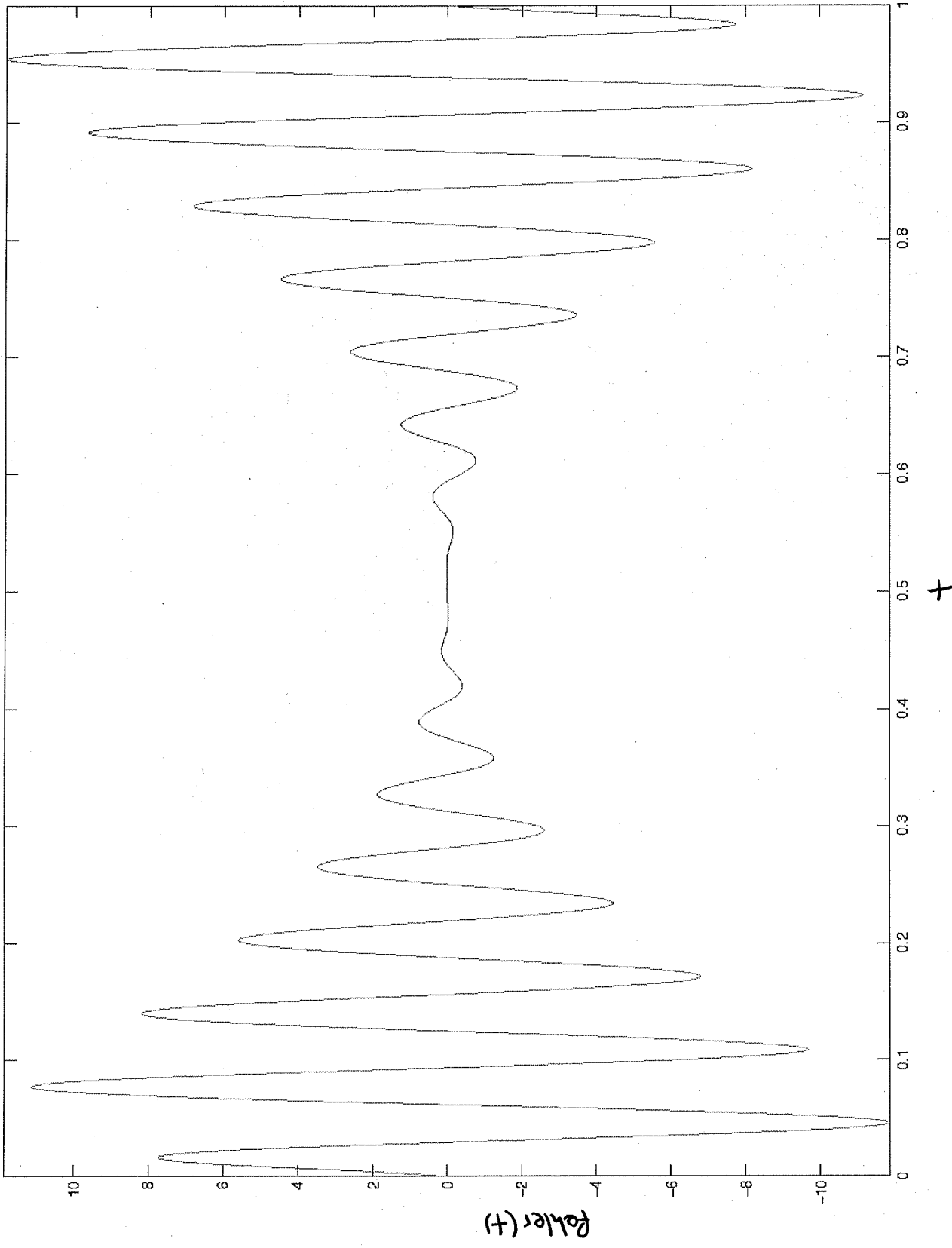


Fehler der Bezier-Approximation durch Bernsteinpolynome mit  $m=10$

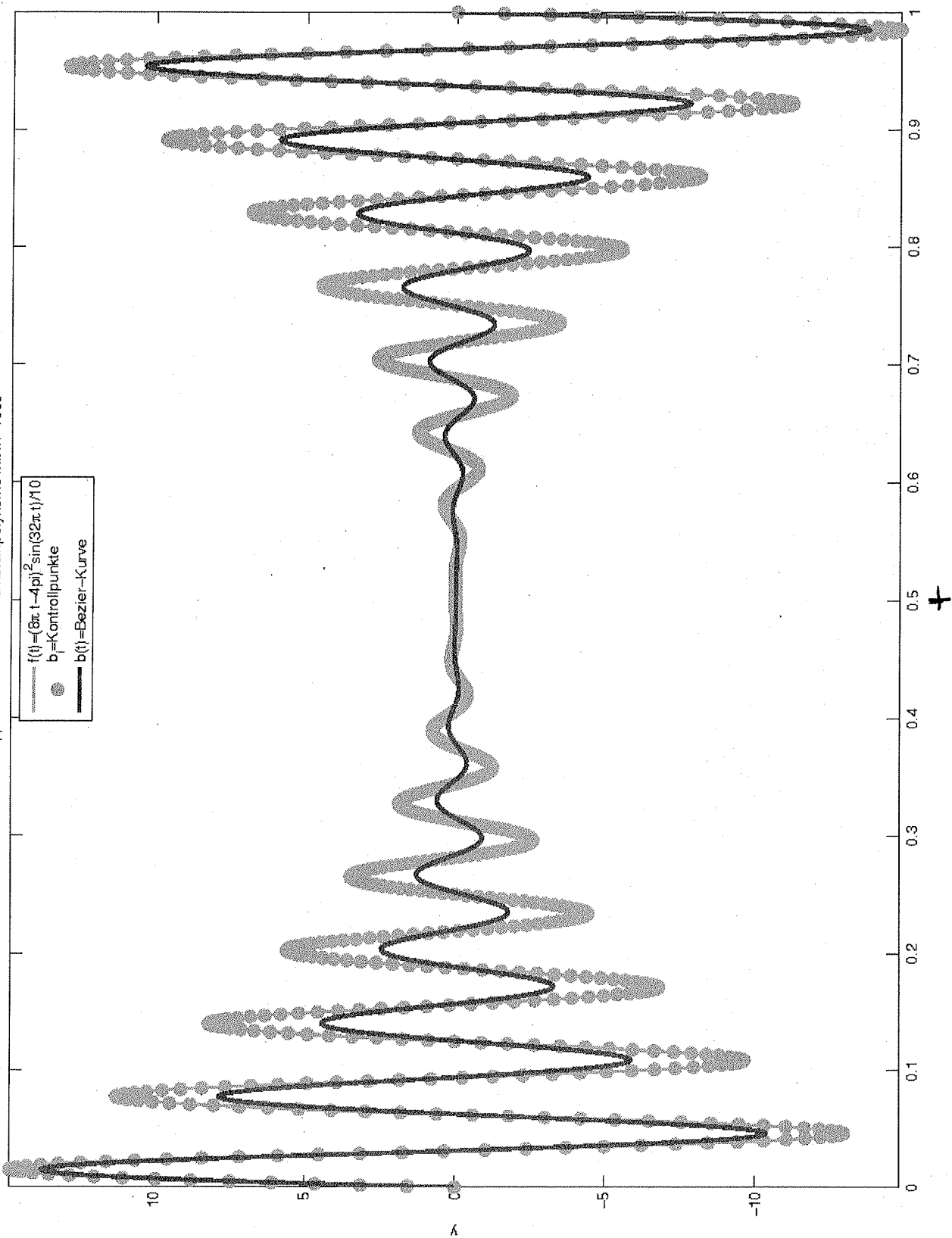




Fehler der Bezier-Approximation durch Bernsteinpolynome mit  $m=100$



### Bezier-Approximation durch Bernsteinpolynome mit m=1000



Fehler der Bezier-Approximation durch Bernsteinpolynome mit  $m=1000$

